

БАКАЛАВРСЬКА РОБОТА

БР.АКП-07.00.000.000 ПЗ

Група АКП-21-1

Іванів Борис

2025

Міністерство освіти і науки України
Івано-Франківський національний технічний університет нафти і газу
Факультет автоматизації та енергетики
Кафедра автоматизації та комп'ютерно-інтегрованих технологій

Іванів Борис Петрович

(прізвище, ім'я, по батькові)

УДК 681.53
(індекс)

БАКАЛАВРСЬКА РОБОТА

Розробка системи автоматизації технологічного процесу термічного крекінгу
(назва роботи)

Автоматизація та комп'ютерно-інтегровані технології
(назва освітньої програми)

151 - Автоматизація та комп'ютерно-інтегровані технології
(шифр і назва спеціальності)

Робота містить результати власних досліджень, використання ідей, результатів і текстів інших авторів мають посилання на відповідне джерело

Нормоконтроль

доцент О.В. Кучмистенко
(посада) (підпис) (дата) (ініціали та прізвище)

Рецензент

доцент О.В. Кучмистенко
(посада) (підпис) (дата) (ініціали та прізвище)

Здобувач освітнього ступеня

АКП-21-1 Б.П. Іванів
(шифр групи) (підпис) (дата) (ініціали та прізвище)

Науковий керівник

доцент А.І. Лагойда
(посада) (підпис) (дата) (ініціали та прізвище)

Допущено до захисту Завідувач кафедри

доцент А.І. Лагойда
(посада) (підпис) (дата) (ініціали та прізвище)

Івано-Франківський національний технічний університет нафти і газу

(повне найменування закладу вищої освіти)

Факультет автоматизації та енергетики

Кафедра автоматизації та комп'ютерно-інтегрованих технологій

Освітній рівень перший (бакалаврський)

Спеціальність 151 "Автоматизація та комп'ютерно-інтегровані технології"

(шифр і назва)

ЗАТВЕРДЖУЮ

Завідувач кафедри АКТ

_____ А.І. Лагойда.

«__» _____ 2025 року

З А В Д А Н Н Я
НА БАКАЛАВРСЬКУ РОБОТУ СТУДЕНТОВІ

Іваніву Борису Петровичу

(прізвище, ім'я, по батькові)

1. Тема роботи Розробка системи автоматизації технологічного процесу термічного крекінгу

керівник роботи Лагойда Андрій Іванович к.т.н., доцент

(прізвище, ім'я, по батькові, науковий ступінь, вчене звання)

затвержені наказом закладу вищої освіти від « 07 » травня 2025 року № 52/8

2. Строк подання студентом роботи 13.06.2025 р.

3. Вихідні дані до роботи методичні вказівки, технічна література, інтернет-ресурс.

4. Зміст розрахунково-пояснювальної записки (перелік питань, які потрібно розробити) : Вступ, 1. Аналіз технологічного процесу термічного крекінгу як об'єкта автоматичного контролю і керування,

2. Математичне моделювання і ідентифікація об'єкта керування,

3. Синтез та аналіз АСК ректифікаційної колони,

4. розробка проектної складової САК

загальні висновки

5. Перелік графічного матеріалу (з точним зазначенням обов'язкових креслень) схема підключення ТЗА

Лист 1 – Схема установки термічного крекінгу – БР.АКП-07.00.00.000 01

Лист 2 – Функціональна схема автоматизації – БР.АКП-07.00.00.000 02

Лист 3 – Схема підключення ТЗА 1 – БР.АКП-07.00.00.000 03

Лист 4 – Схема підключення ТЗА 2 – БР.АКП-07.00.00.000 04

Лист 5 – Схема підключення ТЗА 3 – БР.АКП-07.00.00.000 05

Лист 6 – Схема підключення ТЗА 4 – БР.АКП-07.00.00.000 06

6. Консультанти розділів роботи

Розділ	Прізвище, ініціали та посада консультанта	Підпис, дата	
		завдання видав	завдання прийняв

7. Дата видачі завдання 06.11.2024 р.

КАЛЕНДАРНИЙ ПЛАН

№ з/п	Назва етапів бакалаврської роботи	Термін виконання етапів роботи	Примітка
1	Аналіз технологічного процесу термічного крекінгу	14.05.2025 р.	
2	Математичне моделювання ректифікаційної колони	18.05.2025 р.	
3	Отримання передатних функцій каналів збурення та керування	21.05.2025 р.	
4	Розрахунок параметрів регулятора	23.05.2025 р.	
5	Синтез та аналіз АСК	25.05.2025 р.	
6	Підбір ТЗА	27.05.2025 р.	
7	Розробка проектної складової САК	30.05.2025 р.	

Студент _____
(підпис)

Іванів Б.П _____
(ініціали та прізвище)

Керівник роботи _____
(підпис)

Лагойда А.І. _____
(ініціали та прізвище)

АНОТАЦІЯ

Бакалаврська робота містить: 49 сторінок друкованого тексту, 26 рисунків, 2 таблиці, 14 переліків посилань на джерела.

Тема: «Розробка системи автоматизації технологічного процесу термічного крекінгу».

Об'єкт дослідження: установка термічного крекінгу.

Мета проекту: розробка схеми автоматизації.

Методи дослідження: аналіз і моделювання технологічного процесу.

Результати бакалаврської роботи: для досягнення заданої мети було проаналізовано установку термічного крекінгу. Обрано параметри контролю та регулювання. Проведено математичне моделювання об'єкта керування. За допомогою програмного пакету Matlab, по експериментальним характеристикам розраховано параметри налаштування регуляторів для АСР. Проведено аналіз показників якості АСР після їх синтезу.

Ключові слова: термічний крекінг, автоматизація, ТЗА, математична модель, ректифікаційна колона.

ABSTRACT

Bachelor's thesis contains: 49 pages of printed text, 26 figures, 2 tables, 14 lists of references to sources.

Topic: "Development of an automation system for the thermal cracking technological process".

Object of research: thermal cracking unit.

Project goal: development of an automation scheme.

Research methods: analysis and modeling of the technological process.

Results of the bachelor's thesis: to achieve the given goal, a thermal cracking unit was analyzed. Control and regulation parameters were selected. Mathematical modeling of the control object was carried out. Using the Matlab software package, the parameters for setting the regulators for the automatic control system were calculated based on the experimental characteristics. The quality indicators of automatic control systems after their synthesis were analyzed. Keywords: thermal cracking, automation, technical means of automation, mathematical model, distillation column.

ЗМІСТ

ПЕРЕЛІК УМОВНИХ ПОЗНАЧЕНЬ І СКОРОЧЕНЬ.....	9
ВСТУП.....	9
1. АНАЛІЗ ТЕХНОЛОГІЧНОГО ПРОЦЕСУ ТЕРМІЧНОГО КРЕКІНГУ ЯК ОБ'ЄКТА АВТОМАТИЧНОГО КОНТРОЛЮ І КЕРУВАННЯ.....	10
1.1 Призначення установки та суть процесу	10
1.2 Характеристика продукції, сировини та реагентів	11
1.3 Аналіз технологічної схеми установки термічного крекінгу	12
1.4 Технічна характеристика технологічного обладнання	14
1.5 Вибір та обґрунтування параметрів контролю і регулювання	15
1.6 Вибір сучасного методу автоматизації технологічного процесу	16
Висновки до розділу	16
2. МАТЕМАТИЧНЕ МОДЕЛЮВАННЯ І ІДЕНТИФІКАЦІЯ ОБ'ЄКТА КЕРУВАННЯ	17
2.1 Обґрунтування вибору об'єкта автоматизації.....	17
2.2 Визначення характеристик об'єкта автоматизації.....	17
Висновки до розділу	23
3. СИНТЕЗ ТА АНАЛІЗ АСК РЕКТИФІКАЦІЙНОЇ КОЛОНИ.....	24
3.1. Синтез одноконтурної САК	24
3.2 Синтез ефективних АСР.....	28
3.3 Аналіз роботи розроблених АСР.....	30
Висновки до розділу	30
4. РОЗРОБКА ПРОЕКТНОЇ СКЛАДОВОЇ САК.....	31
4.1 Вибір технічних засобів автоматизації	31
4.2. Розробка функціональної схеми автоматизації	39

					БР.АКП-07.00.00.000 ПЗ			
Змн.	Лист	№ докум.	Підпис	Дата	Розробка системи автоматизації технологічного процесу термічного крекінгу	Літ.	Арк.	Акрушів
Розроб.		Іванів Б.П.				6	50	
Перевір.		Лагойда А.І.						
Реценз.		Кучмистенко О.В.						
Н. Контр.		Кучмистенко О.В.						
Затверд.		Лагойда А.І.			Група АКП-21-1 ІФНТУНГ			

Висновки до розділу	46
ЗАГАЛЬНІ ВИСНОВКИ.....	47
ПЕРЕЛІК ПОСИЛАНЬ НА ДЖЕРЕЛА	48

					БР.АКП-07.00.000.000 ПЗ	Арк.
Змн.	Арк.	№ докум.	Підпис	Дата		7

ПЕРЕЛІК УМОВНИХ ПОЗНАЧЕНЬ І СКОРОЧЕНЬ

F – витрата;

t – температура;

Q – кількість тепла;

c – теплоємність;

ρ – густина;

V – об'єм;

ПІ – регулятор – пропорційно-інтегральний регулятор;

s – площа поверхні теплообміну;

ВМ – виконавчий механізм;

ТЗА – технічні засоби автоматизації;

САК – система автоматичного керування;

АСК – автоматизована система контролю.

					БР.АКП-07.00.000.000 ПЗ	Арк.
Змн.	Арк.	№ докум.	Підпис	Дата		8

ВСТУП

Термічний крекінг є одним з найстаріших та найпростіших серед процесів переробки нафти. На відмінну від каталітичного крекінгу де окрім температури та тиску потрібно використовувати різні каталізаторів, кількість видів яких визначається сотнями, та обладнання яке підходить для каталітичного крекінгу з обраним каталізатором, що інколи не дає змоги перейти на іншу сировину або змінити масову частку вихідної продукції без заміни частини обладнання. Сам процес каталітичного крекінгу також набагато швидший за процес термічного крекінгу, тому час контакту сировини з каталізатором також має значний вплив на продукцію, все вирішується буквально в долі секунди, неправильно налаштовані керуючі пристрої можуть стати причиною значної різниці між розрахованою та отриманою продукцією. Продукція термічного крекінгу керується всього трьома параметрами: температурою, тиском та сировиною. Тобто, найбільшою різницею між термічним і каталітичним крекінгом є те, що один є універсальним з середньою продуктивністю і хорошою стійкістю до зміни складу сировини, а інший є дуже спеціалізованим з високою продуктивністю але навіть незначні зміни в декілька процентів в складі сировини можуть призвести до збурень в процесі крекінгу.

Ця робота може бути актуальною для тих хто планує зайнятися переробкою нафти, але не вирішив яку спеціалізацію обрати, або не має досвідчених спеціалістів які можуть керувати каталітичним крекінгом.

В даній роботі розглядається система автоматизації технологічного процесу термічного крекінгу. Основним апаратом, що розглядається є ректифікаційна колона, яка є невід'ємною частиною всього процесу.

					БР.АКП-07.00.000.000 ПЗ	Арк.
Змн.	Арк.	№ докум.	Підпис	Дата		9

1. АНАЛІЗ ТЕХНОЛОГІЧНОГО ПРОЦЕСУ ТЕРМІЧНОГО КРЕКІНГУ ЯК ОБ'ЄКТА АВТОМАТИЧНОГО КОНТРОЛЮ І КЕРУВАННЯ

1.1 Призначення установки та суть процесу

Установка термічного крекінгу складається з ректифікаційних колон, печей для нагріву сировини, теплообмінників, реакційних камер або реакторів та сепараторів і призначена для проведення процесу крекінгу та розділення суміші компонентів які утворюються в цьому процесі.

Суть процесу крекінгу полягає в розщепленні С-С зв'язку високомолекулярних вуглеводнів (C_5 і вище) і утворенні C_4 - C_2 вуглеводнів за допомогою високих температур. Цей процес носить назву гомоліз і його результатом є утворення радикалів. Існує декілька видів термічного крекінгу: рідиннофазномий (тиск 2–7 МПа, температура 450–540 °С), парофазний (тиск 0,2–0,6 МПа, температура 550–600 °С), піроліз (температура 700–900 °С або вище) та вісбрекінг (тиск 0,5–3,0 МПа, температура 440–500 °С).

Головною різницею між рідиннофазним та парофазним крекінгом є те, що вихід газу при рідиннофазному крекінгу 5-6%, а при парофазному – 25-30 %. В газах рідиннофазного крекінгу більше алканів і менше ненасичених вуглеводнів, а в газах парофазного крекінгу – навпаки.

Піроліз – основний спосіб отримання алкенів – етилену та пропілену. Майже 100% світового виробництва етилену та майже 67% пропілену отримуються за допомогою піролізу. Також піроліз є основним джерелом отримання дивінілу, бутадієну та бензолу.

Вісбрекінг застосовують для зниження в'язкості залишків вакуумної перегонки, інколи як сировину можуть використовувати мазут для отримання товарних котельних палив. Продуктами вісбрекінгу є газ та бензин в незначних кількостях, керосино-газойлева фракція (50-55%) та крекінг-залишок який використовується як котельне паливо, має нижчу температуру застигання і в'язкість, вищу теплоту згорання, ніж прямогонний мазут.

					БР.АКП-07.00.000.000 ПЗ	Арк.
Змн.	Арк.	№ докум.	Підпис	Дата		10

1.2 Характеристика продукції, сировини та реагентів

Характеристика продукції, сировини та реагентів:

1. Алкани. Насичені вуглеводні. Загальна формула C_nH_{2n+2} . За агрегатним станом алкани можуть бути газоподібні (C_1 - C_4), рідкі (C_5 - C_{17}) і тверді (C_{18} і вище). Зі збільшенням кількості атомів масова теплота згорання алканів зменшується. Більшість хімічних реакцій починаються з розриву зв'язку C-H, а під дією високих температур спочатку йде розрив C-C зв'язку. В процесі термічного крекінгу утворюються ненасичені вуглеводні.

2. Алкени. Ненасичені вуглеводні. Загальна формула C_nH_{2n} (при $n \geq 2$). За агрегатним станом лінійні алкени можуть бути газоподібні (C_2 - C_4), рідкі (C_5 - C_{16}) і тверді (C_{17} і вище). Багато фізичних властивостей алкенів і алканів схожі. В процесі термічного крекінгу утворюються ненасичені вуглеводні, або водень та алкадієн.

3. Алкіни. Ненасичені вуглеводні. Загальна формула C_nH_{2n-2} (при $n \geq 2$). За агрегатним станом лінійні алкени можуть бути газоподібні (C_2 - C_4), рідкі (C_4 - C_{17}) і тверді (C_{18} і вище).

4. Циклоалкани або нафтени. Вуглеводні з одним чи кількома вуглецевими циклами. Загальна формула C_nH_{2n} або $(CH_2)_n$. В загальному схожі на відповідні алкани, але мають більші густини і трохи вищі температури плавлення та кипіння.

5. Арени. Найбільш стійкі до дії високих температур, тому можуть накопичуватися в продуктах крекінгу. Найбільш використовуваним ареном є бензен, його застосовують для створення інсектицидів, розчинників, ліків, барвників, синтетичних волокон, поліестерів, пластмас, синтетичних каучуків. До 50% бензену виробляється за допомогою піролізу. Разом із бензеном утворюються толуол та ксилоли.

6. Крекінг-залишок. Рідини з густиною порядку $1,0 \text{ г/см}^3$, які складаються з висококонденсованих ароматичних і гідридних сполук. Вони використовуються як сировина для коксування і котельного палива.

					БР.АКП-07.00.000.000 ПЗ	Арк.
Змн.	Арк.	№ докум.	Підпис	Дата		11

Продовження таблиці 1.1

Температура дистилляту	t_d	293	К
Витрата кубового залишку	F_K	930	м ³ /ГОД
Теплоємність кубового залишку	c_p	2.9	кДж/(кг·К)
Температура кубового залишку	t_{p1}	488	К
Температура рециркуляту	t_{p2}	500	К
Витрата рециркуляту	F_p	803	м ³ /ГОД
Теплоємність рециркуляту	c_p	2.9	кДж/(кг·К)
Витрата флегми	F_Φ	268	м ³ /ГОД
Теплоємність флегми	c_Φ	3.26	кДж/(кг·К)
Температура флегми	t_Φ	310	К
Витрата пари суміші	F_Π	452	м ³ /ГОД
Температура пари суміші	t_Π	340	К
Теплоємність пари суміші	c_Π	3.260	кДж/(кг·К)

1.4 Технічна характеристика технологічного обладнання

Трубочаста піч. Промислова піч призначена для нагрівання матеріалів з метою їх фізико-хімічної обробки. Використовується для отримання матеріалів високої температури при безперервному процесі.

Реакційна камера. Технологічний апарат для проведення хімічних реакцій, що супроводжуються явищами масо- і теплообміну.

Холодильник. Технологічний апарат який використовується для охолодження матеріалів.

Ректифікаційна колона. Циліндрична конструкція з контактними пристроями всередині, призначена для розділення рідких сумішей, складові яких

					БР.АКП-07.00.000.000 ПЗ	Арк.
Змн.	Арк.	№ докум.	Підпис	Дата		14

1.6 Вибір сучасного методу автоматизації технологічного процесу

Сучасні методи автоматизації виробництва охоплюють широкий спектр технологій та систем, спрямованих на підвищення ефективності, продуктивності та якості.

Основними методами автоматизації є: автоматизація виробничих процесів (APS), промислова робототехніка, інтерфейси людини-машини (HMI), системи управління виробництвом (MES), системи управління ресурсами підприємства (ERP) та SCADA-системи.

В даній роботі буде використовуватися метод автоматизації за допомогою SCADA-системи, але сама SCADA-система розроблятися не буде.

Висновки до розділу

В даному розділі було проаналізовано призначення установки, суть процесу, продукцію, сировину, технологічну схему та обладнання термічного крекінгу, обрано параметри контролю та регулювання технологічним процесом.

					БР.АКП-07.00.000.000 ПЗ	Арк.
Змн.	Арк.	№ докум.	Підпис	Дата		16

2. МАТЕМАТИЧНЕ МОДЕЛЮВАННЯ І ІДЕНТИФІКАЦІЯ ОБ'ЄКТА КЕРУВАННЯ

2.1 Обґрунтування вибору об'єкта автоматизації

Об'єктом керування обрано ректифікаційну колону, оскільки саме в колоні відбувається процес розділення суміші на компоненти, що є основою переробки нафтового дистилляту.

2.2 Визначення характеристик об'єкта автоматизації

На рис. 2.1. зображено спрощену схему ректифікаційної колони, а також вхідні і вихідні потоки для апарату.

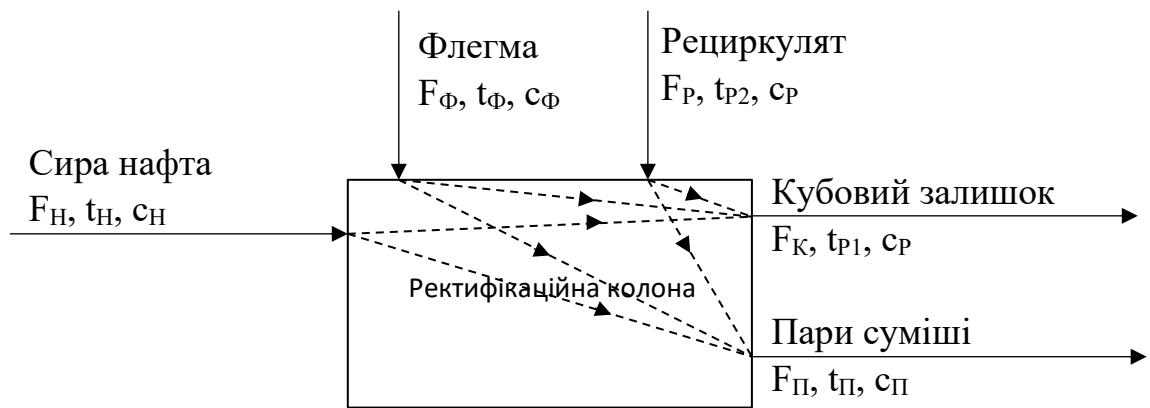


Рисунок 2.1 – Спрощена схема ректифікаційної колони

Матеріальний баланс апарату:

$$F_H + F_Ф + F_{P2} - F_{P1} - F_{П} = 0,$$

де F_H – витрата сирової нафти;

$F_Ф$ – витрата флегми, що подається в колону ректифікації;

F_{P2} – витрата рециркуляту, що поступає в колону;

F_{P1} – витрата кубового залишку, що виходить з колони.

$F_{П}$ – витрата парів суміші, що виходять з колони.

Оскільки основним параметром для проведення процесу є температура, то як основу опису процесу розглядаємо тепловий баланс.

Тепловий баланс:

$$Q_H - Q_{P1} + Q_{P2} - \Delta Q_{KS} - Q_{ZS} - Q_{ПР} = 0, \quad (2.1)$$

					БР.АКП-07.00.000.000 ПЗ	Арк.
Змн.	Арк.	№ докум.	Підпис	Дата		17

де Q_H – кількість тепла з вхідним потоком дистилляту, $Q_H = F_H c_H t_H$;

Q_{P1} – кількість тепла з вихідним потоком кубового залишку, $Q_{P1} = F_P c_P t_{P1}$;

Q_{P2} – кількість тепла з вхідним потоком рециркуляту, $Q_{P2} = F_P c_P t_{P2}$;

ΔQ_{KS} – кількість тепла передана від нагрівача до маси суміші, $\Delta Q_{KS} = F_1 s_1 (t_{P1} - t_\Phi)$;

Q_{ZS} – кількість втрат тепла в оточуюче середовище, $Q_{ZS} = 0.2 F_P c_P t_{P2}$;

Q_{PP} – кількість тепла, витраченого на процес, $Q_{PP} = (F_H c_H t_H + F_P c_P t_{P2}) q_1$;

$$Q_\Phi - Q_\Pi + \Delta Q_{KS} = 0, \quad (2.2)$$

де Q_Φ – кількість тепла, внесеного в колону флегмою, $Q_\Phi = F_\Phi c_\Phi t_\Phi$;

Q_Π – кількість тепла, що виноситься з колони з паром суміші, $Q_\Pi = F_\Pi c_\Pi t_\Pi$;

Статичний режим об'єкта представлений рівняннями (2.1) та (2.2):

$$Q_H - Q_{P1} + Q_{P2} - \Delta Q_{KS} - Q_{ZS} - Q_{PP} = 0,$$

$$Q_\Phi - Q_\Pi + \Delta Q_{KS} = 0.$$

Перепишемо рівняння розписавши усі елементи:

$$F_H c_H t_H - F_P c_P t_{P1} + F_P c_P t_{P2} - F_1 s_1 (t_{P1} - t_\Phi) - 0.2 F_P c_P t_{P2} - (F_H c_H t_H + F_P c_P t_{P2}) q_1 = 0, \quad (2.3)$$

$$F_\Phi c_\Phi t_\Phi - F_\Pi c_\Pi t_\Pi + F_1 s_1 (t_{P1} - t_\Phi) = 0. \quad (2.4)$$

Динамічний режим об'єкта для нижньої частини колони представлений рівнянням (2.5):

$$Q_H - Q_{P1} + Q_{P2} - \Delta Q_{KS} - Q_{ZS} - Q_{PP} = V_P c_P \rho_P \frac{dt_{P1}}{d\tau}, \quad (2.5)$$

де $V_P = 9 \text{ м}^3$ – об'єм сировини в колоні ректифікації;

$c_P = 3.670 \text{ кДж}/(\text{кг} \cdot \text{К})$ – теплоємність сировини в колоні ректифікації;

$\rho_P = 850 \text{ кг}/\text{м}^3$ – густина сировини в колоні ректифікації;

Динамічний режим об'єкта для верхньої частини колони представлений рівнянням (2.6):

$$Q_\Phi - Q_\Pi + \Delta Q_{KS} = V_\Phi c_\Phi \rho_\Phi \frac{dt_\Phi}{d\tau}, \quad (2.6)$$

$V_\Phi = 5 \text{ м}^3$ – об'єм флегми в колоні ректифікації;

$c_\Phi = 3.26 \text{ кДж}/(\text{кг} \cdot \text{К})$ – теплоємність флегми в колоні ректифікації;

					БР.АКП-07.00.000.000 ПЗ	Арк.
Змн.	Арк.	№ докум.	Підпис	Дата		18

(2.9)

В якості каналу керування розглянемо витрату флегми, усі інші канали будуть збуреннями.

Розглянемо канал керування $F_\Phi \rightarrow t_{P1}$. Спростуємо рівняння (2.9):

$$V_P c_P \rho_P p t_{P1}(p) + F_P c_P t_{P1}(p) + F_1 s_1 t_{P1}(p) = F_1 s_1 \frac{F_\Phi(p) c_\Phi t_\Phi + F_1 s_1 t_{P1}(p)}{V_\Phi c_\Phi \rho_\Phi p - F_\Phi c_\Phi + F_1 s_1}. \quad (2.10)$$

Зведемо рівняння (2.10) до канонічної форми та введемо позначення:

$$\begin{aligned} & \frac{V_P c_P \rho_P V_\Phi c_\Phi \rho_\Phi}{(F_P c_P + F_1 s_1)(F_1 s_1 - F_\Phi c_\Phi) - F_1^2 s_1^2} \cdot p^2 t_{P1}(p) + \\ & + \frac{V_P c_P \rho_P (F_1 s_1 - F_\Phi c_\Phi) + (F_1 s_1 t_{P1} + F_1 s_1) V_\Phi c_\Phi \rho_\Phi}{(F_P c_P + F_1 s_1)(F_1 s_1 - F_\Phi c_\Phi) - F_1^2 s_1^2} \cdot p t_{P1}(p) + t_{P1}(p) = \\ & = \frac{F_1 s_1 c_\Phi t_\Phi}{(F_P c_P + F_1 s_1)(F_1 s_1 - F_\Phi c_\Phi) - F_1^2 s_1^2} \cdot F_\Phi(p), \end{aligned}$$

де

$$\begin{aligned} A &= \frac{V_P c_P \rho_P V_\Phi c_\Phi \rho_\Phi}{(F_P c_P + F_1 s_1)(F_1 s_1 - F_\Phi c_\Phi) - F_1^2 s_1^2} = 3.843 \\ B &= \frac{V_P c_P \rho_P (F_1 s_1 - F_\Phi c_\Phi) + (F_1 s_1 t_{P1} + F_1 s_1) V_\Phi c_\Phi \rho_\Phi}{(F_P c_P + F_1 s_1)(F_1 s_1 - F_\Phi c_\Phi) - F_1^2 s_1^2} = 219.6387 \\ C_1 &= \frac{F_1 s_1 c_\Phi t_\Phi}{(F_P c_P + F_1 s_1)(F_1 s_1 - F_\Phi c_\Phi) - F_1^2 s_1^2} = 0.7182 \end{aligned}$$

Отримали рівняння:

$$A p^2 t_{P1}(p) + B p t_{P1}(p) + t_{P1}(p) = C_1 F_\Phi(p),$$

Передавальна функція каналу $F_\Phi \rightarrow t_{P1}$ має вигляд:

$$\begin{aligned} W_{F_\Phi \rightarrow t_{P1}}(p) &= \frac{t_{P1}(p)}{F_\Phi(p)}, \\ W_{F_\Phi \rightarrow t_{P1}}(p) &= \frac{C_1}{A p^2 + B p + 1} = \frac{0.7182}{3.843 p^2 + 219.6387 p + 1}. \end{aligned} \quad (2.11)$$

На рис. 2.2 зображено перехідну функцію каналу керування $F_\Phi \rightarrow t_{P1}$.

					БР.АКП-07.00.000.000 ПЗ	Арк.
						20
Змн.	Арк.	№ докум.	Підпис	Дата		

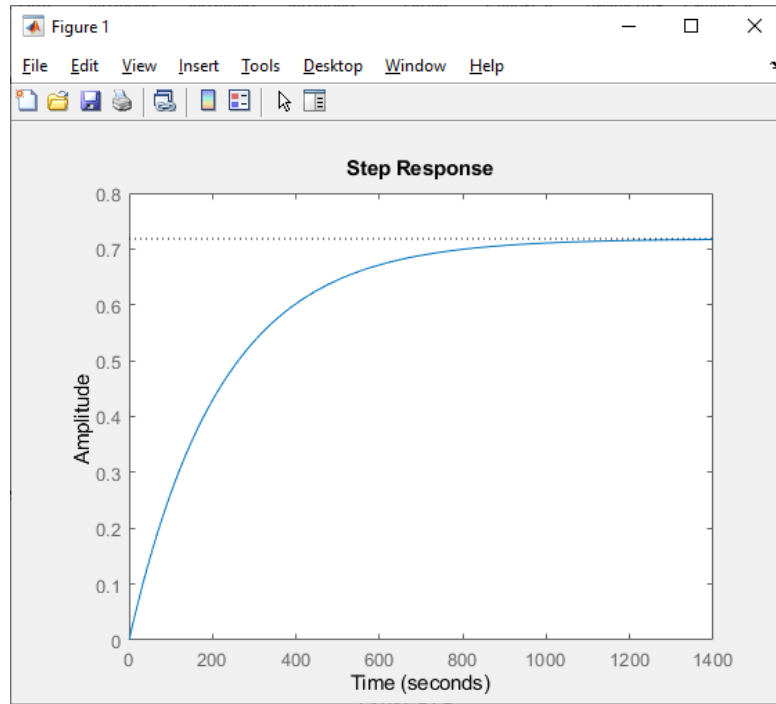


Рисунок 2.2 - Перехідна функція каналу керування $F_{\Phi} \rightarrow t_{P1}$

Розглянемо канал збурення $F_{\Pi} \rightarrow t_{P1}$. Спростуємо рівняння (2.9):

$$V_P c_P \rho_P p t_{P1}(p) + F_P c_P t_{P1}(p) + F_1 s_1 t_{P1}(p) = \frac{-F_{\Pi}(p) c_{\Pi} t_{\Pi} + F_1 s_1 t_{P1}(p)}{V_{\Phi} c_{\Phi} \rho_{\Phi} p - F_{\Phi} c_{\Phi} + F_1 s_1}. \quad (2.12)$$

Зведемо рівняння (2.12) до канонічної форми та введемо позначення:

$$\begin{aligned} & \frac{V_P c_P \rho_P V_{\Phi} c_{\Phi} \rho_{\Phi}}{(F_P c_P + F_1 s_1)(F_1 s_1 - F_{\Phi} c_{\Phi}) - F_1^2 s_1^2} \cdot p^2 t_{P1}(p) + \\ & + \frac{V_P c_P \rho_P (F_1 s_1 - F_{\Phi} c_{\Phi}) + (F_1 s_1 t_{P1} + F_1 s_1) V_{\Phi} c_{\Phi} \rho_{\Phi}}{(F_P c_P + F_1 s_1)(F_1 s_1 - F_{\Phi} c_{\Phi}) - F_1^2 s_1^2} \cdot p t_{P1}(p) + t_{P1}(p) = \\ & = \frac{-F_1 s_1 c_{\Pi} t_{\Pi}}{(F_P c_P + F_1 s_1)(F_1 s_1 - F_{\Phi} c_{\Phi}) - F_1^2 s_1^2} \cdot F_{\Pi}(p), \end{aligned}$$

де

$$C_2 = \frac{-F_1 s_1 t_{\Pi} c_{\Pi}}{(F_P c_P + F_1 s_1)(F_1 s_1 - F_{\Phi} c_{\Phi}) - F_1^2 s_1^2}.$$

Отримали рівняння:

$$A p^2 t_{P1}(p) + B p t_{P1}(p) + t_{P1}(p) = C_2 F_{\Pi}(p).$$

Передавальна функція каналу $F_{\Pi} \rightarrow t_{P1}$ має вигляд:

$$W_{F_{\Pi} \rightarrow t_{P1}}(p) = \frac{t_{P1}(p)}{F_{\Pi}(p)},$$

Передавальна функція каналу $t_{\Pi} \rightarrow t_{P1}$ має вигляд:

$$W_{F_{\Pi} \rightarrow t_{P1}}(p) = \frac{t_{P1}(p)}{t_{\Pi}(p)},$$

$$W_{F_{\Pi} \rightarrow t_{P1}}(p) = \frac{C_3}{Ap^2 + Bp + 1} = \frac{-1.0473}{3.843p^2 + 219.6387p + 1}. \quad (2.15)$$

На рис. 2.4 зображено перехідну функцію каналу збурення $t_{\Pi} \rightarrow t_{P1}$.

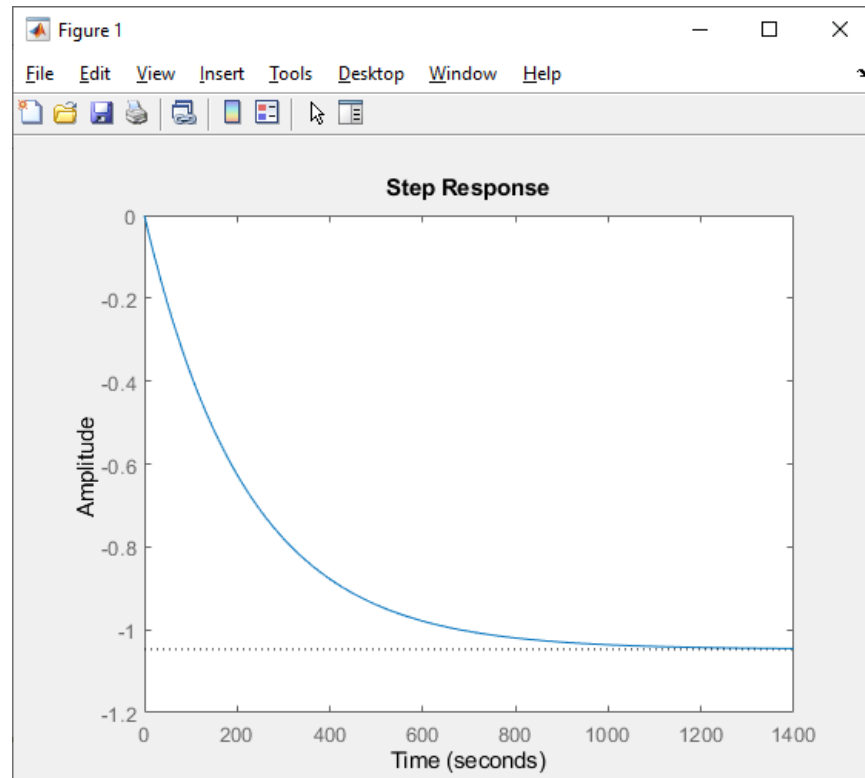


Рисунок 2.4 - Перехідна функція каналу збурення $t_{\Pi} \rightarrow t_{P1}$

Висновки до розділу

В даному розділі було обрано об'єкт керування, створено його математичну модель, розраховано передавальні функції каналу керування та каналів збурення.

3. СИНТЕЗ ТА АНАЛІЗ АСК РЕКТИФІКАЦІЙНОЇ КОЛОНИ

3.1. Синтез одноконтурної САК

Перед синтезом САК потрібно розрахувати параметри регулятора. В якості регулятора використаємо ПІ-регулятор. Параметри регулятора будемо розраховувати за допомогою метода М-кола. Розрахунки будуть проводитися в середовищі Matlab.

ПІ – регулятор має два параметра налаштування: коефіцієнт передачі регулятора K_p та постійна інтегрування T_i . Регулятор з об'єктом керування складають замкнену систему. Для того, щоб знайти коефіцієнти настройки ПІ – регулятора на заданий показник коливності спочатку потрібно знайти передатну функцію розімкненої системи та побудувати в одній системі координат АФХ розімкненої системи та М – коло.

Центр та радіус М кола:

$$C = \frac{M^2}{M^2 - 1},$$
$$R = \frac{M}{M^2 - 1}.$$

Побудуємо М-коло та годограф АФХ розімкненої системи . Для початку задаємо довільні початкові параметри ПІ-регулятора та з'єднаємо регулятор із об'єктом керування за допомогою функції series.

Код, що реалізує даний алгоритм:

```
%% M-circle
```

```
Kp = 4;
```

```
Ti = 20;
```

```
p = tf('p');
```

```
C = Kp*(1 + 1/(Ti*p));
```

```
sys_open = series(C, pade(WFftp1, 1))
```

```
M = 1.3;
```

```
R = M/(M^2-1)
```

					БР.АКП-07.00.000.000 ПЗ	Арк.
Змн.	Арк.	№ докум.	Підпис	Дата		24

```

C = M^2/(M^2-1)
Centr = [-C; 0];
t = [0:pi/180:2*pi];
x = R*cos(t) + Centr(1);
y = R*sin(t) + Centr(2);
plot(x,y);
hold on
Wbeg = 0.01;
Wend = 2;
w = Wbeg:0.01:Wend;
H = freqresp(sys_open, w);
plot(H(:))
grid on

```

Результати виконання написаної програми зображені на рис. 3.1.

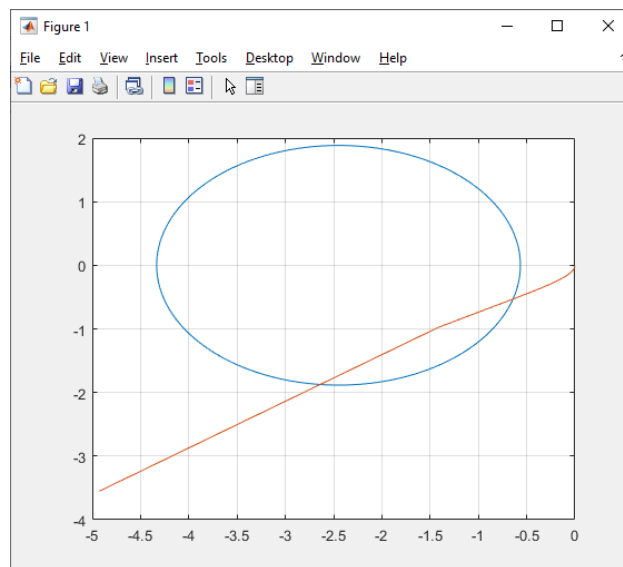


Рисунок 3.1 - Графічна інтерпретація ітеративного настроювання параметрів регулятора за методом М-кола

Далі методом підбору необхідно отримати такі параметри регулятора при котрих годограф АФХ дотикається до М кола.

Результати дослідження представлені на рисунку 3.2

					БР.АКП-07.00.000.000 ПЗ	Арк.
Змн.	Арк.	№ докум.	Підпис	Дата		25

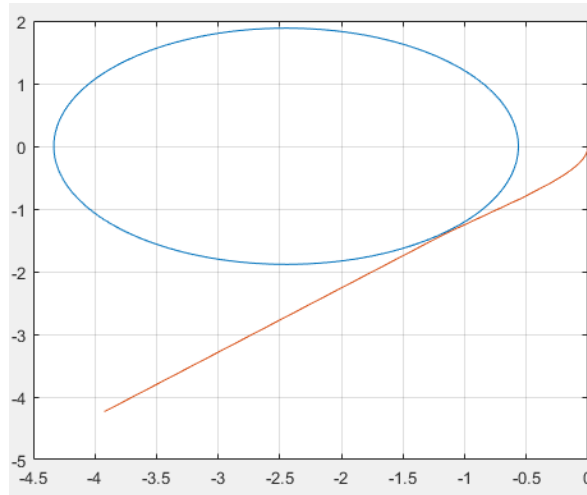


Рисунок 3.2 - Графічна інтерпретація ітеративного настроювання параметрів регулятора за методом М-кола

Параметри регулятора, що забезпечують даний показник коливності:

$$K_p = 8.2;$$

$$T_i = 36;$$

$$T_d = 0;$$

Передавальна функція регулятора:

$$W_{p1} = \frac{295.2p + 8.2}{36p}.$$

Перевіримо стійкість систем за допомогою критерія Найквіста. Перевірити будемо за допомогою функції `nyquist`.

Критерій Найквіста: якщо система автоматичного управління стійка в розімкненому стані, то для її стійкості в замкненому стані необхідно і достатньо, щоб АФЧХ розімкненої системи $W(j\omega)$ при зміні ω від нуля до нескінченності не охоплювала точку з координатами $(-1; j0)$ комплексної площини.

Пишемо `nyquist(sys_open)`. Тепер натискаємо ПКМ на графіку `Characteristics>All Stability Margins`. Натискаємо на точки які з'явилися на графіку.

					БР.АКП-07.00.000.000 ПЗ	Арк.
Змн.	Арк.	№ докум.	Підпис	Дата		26

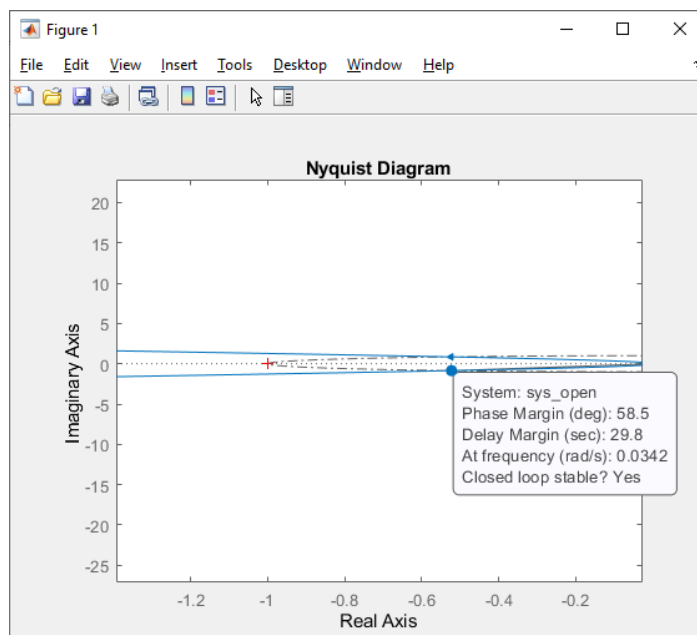


Рисунок 3.3 – Критерій стійкості Найквіста

Оскільки графіки не охоплюють точку $(-1,0)$ то системи вважаються стійкими. У віконечку яке з'явилося після натискання на точку пише, що замкнена система є стійкою та запаси по фазі.

Для того щоб отримати характеристики замкненої системи із зворотнім зв'язком використовуємо наступний код

```
sys_fb = feedback(sys_open, 1);
step(sys_fb), grid on
```

Результати дослідження поведінки замкненої системи з розрахованими параметрами регулятора зображені на рисунку 3.4.

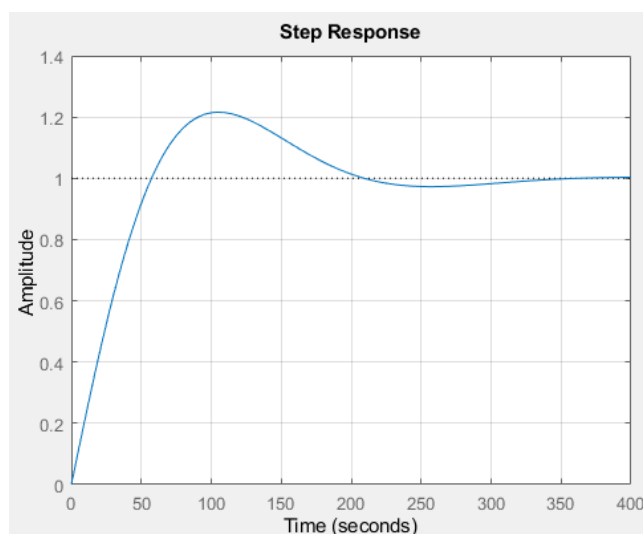


Рисунок 3.4 - Графічне зображення поведінки замкненої системи з

					БР.АКП-07.00.000.000 ПЗ	Арк.
Змн.	Арк.	№ докум.	Підпис	Дата		27

для перевірки ефективності компенсаторів:

```
F1c=parallel(F1,WFPtp1)
```

```
F2c=parallel(F2,WtPtp1)
```

```
subplot(1,2,1)
```

```
hold on
```

```
step(WFPtp1)
```

```
step(F1c)
```

```
hold off
```

```
subplot(1,2,2)
```

```
hold on
```

```
step(WtPtp1)
```

```
step(F2c)
```

```
hold off
```

Результат виконання програми зображений на рис. 3.6.

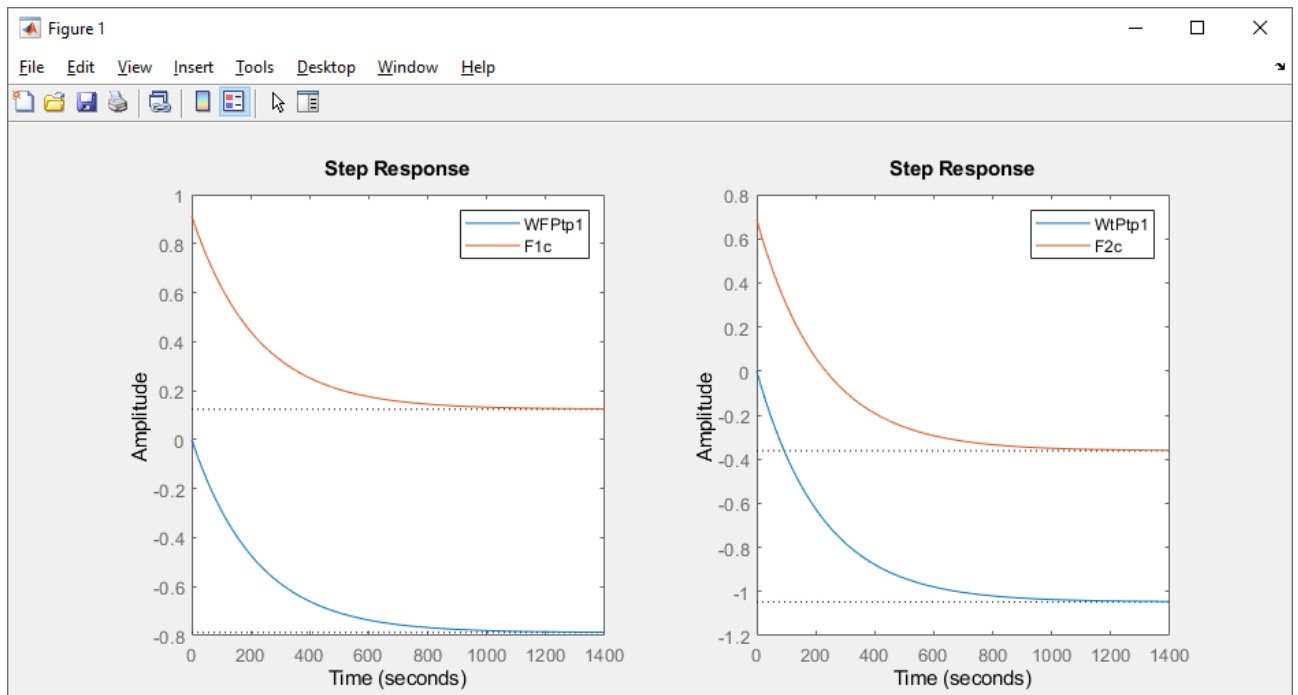


Рисунок 3.6 Результат дії компенсаторів збурюючого впливу

Розраховані компенсатори значно зменшують дію збурюючого впливу, тому доцільно використати їх для синтезу САК.

На рис. 3.7 зображена модель САК з компенсаторами збурюючих впливів

створеної в Simulink.

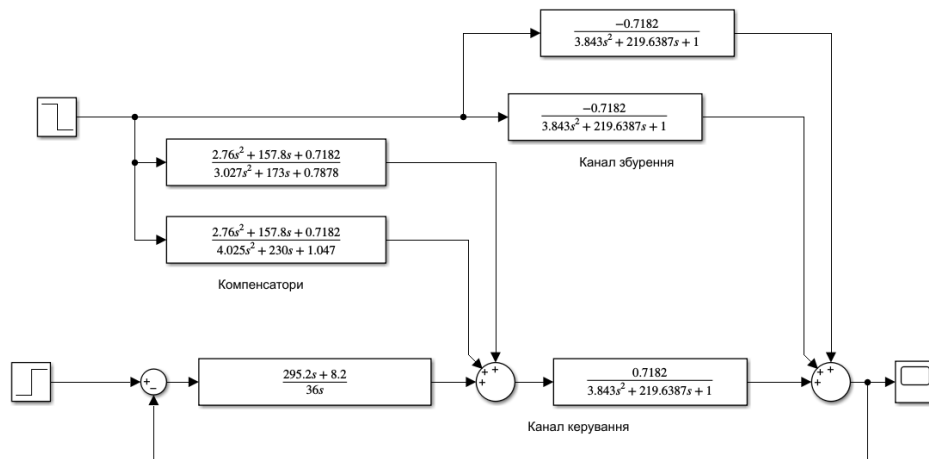
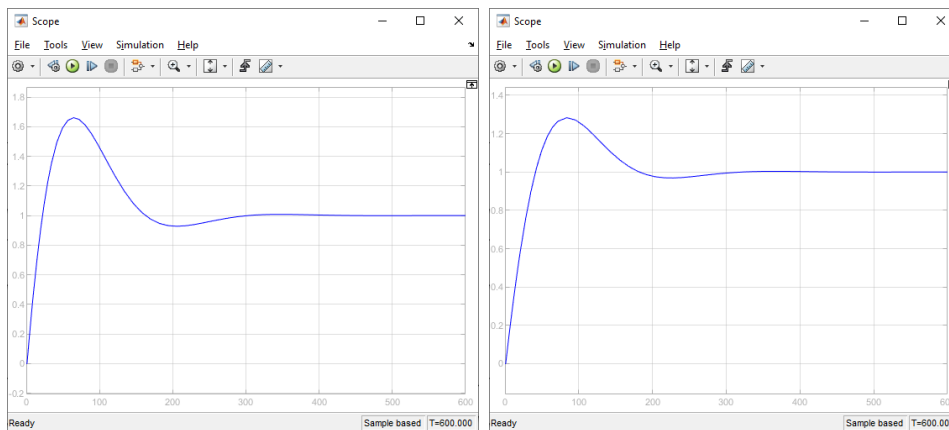


Рисунок 3.7 – САК з компенсаторами збурюючих впливів

3.3 Аналіз роботи розроблених АСР

Для дослідження системи буде використано Matlab Simulink.

На канал керування подаємо сигнал з рівнем 1, а на канал збурення подаємо сигнал з рівнем мінус 5. Результати симуляції цієї системи без та з компенсаторами зображені на рис 3.7.



а)

б)

Рисунок 3.7 - Перехідна характеристика САК а) без компенсаторів; б) з компенсаторами

З рис. 3.7 можна зробити висновок, що компенсатори значно покращують якість роботи системи.

Висновки до розділу

В даному розділі було створено та проаналізовано роботу створених АСР ректифікаційної колони.

					БР.АКП-07.00.000.000 ПЗ	Арк.
Змн.	Арк.	№ докум.	Підпис	Дата		30

4. РОЗРОБКА ПРОЕКТНОЇ СКЛАДОВОЇ САК

4.1 Вибір технічних засобів автоматизації

1. Датчик температури ТХА, тип К, довжина 250 мм (0...1050°C).



Рисунок 4.1 Датчик температури ТХА, тип К,

Технічні характеристики:

- Клас допуску - 2;
- Довжина високотемпературної частини: 250 мм
- Загальна довжина: 250 мм (включно високотемпературну)
- Діаметр вимірювальної частини: 10 мм
- Матеріал високотемпературної частини: н/ж сталь 310S
- Матеріал монтажної коробки: алюміній
- Інерційність: 45 с
- Робочий тиск: 6,3 бар.

2. Sensit PTS 91 датчик температури з виходом 4-20 мА, Pt 1000/3850, -50 °С до +400 °С, 100 мм, IP 54.

					БР.АКП-07.00.000.000 ПЗ	Арк.
Змн.	Арк.	№ докум.	Підпис	Дата		31



Рисунок 4.2 - Sensit PTS 91

Характеристики

- Тип чутливого елемента - Pt 1000/3850;
- Виконання / Тип - З комутаційною головкою;
- Вхід - 4-20 мА;
- Діапазон вимірювання температури - -50 °С до +400 °С;
- Вихідний сигнал - 4-20 мА;
- Довжина стержня з чутливим елементом - 100 мм;
- Кабель - 1.5 до 2.5 мм²;
- Опір ізоляції - >200 МΩ при 500 VDC, 25 °С ±3; вологість <85 %;
- Матеріал головки підключення - алюмінієвий сплав, LIMATHERM B;
- Тип різьби - М 20x1.5;
- Клас захисту - IP 54, згідно EN 60529.

3. ДРП-І . Поплавковий датчик рівня з аналоговим вихідним сигналом 4...20 мА



Рисунок 4.3 - ДРП-І

					БР.АКП-07.00.000.000 ПЗ	Арк.
Змн.	Арк.	№ докум.	Підпис	Дата		32

- Міжповірочний інтервал 4 роки;
- Конфігуратор: вихрові витратоміри.

5. Регулюючий клапан з електроприводом Ari-Stevi 440.



Рисунок 4.5 - Регулюючий клапан з електроприводом Ari-Stevi 440

- Номінальні діаметри: DN 15 ... 250;
- Номінальний тиск, бар: PN 16, 25 ,40;
- Діапазон значень kvs(м3/год): 2,5 ... 1000;
- Ущільнення штока і робоча температура клапана:
 - Чистий графіт: -60 ... 450 °С;
- Виконання затвора стандартне:
 - DN 15...150: параболічний затвор (ущільнення метал по металу);
- Виконання затвора опціональне:
 - DN 15 ... 150: параболічний затвор з підвищеною герметичністю (клас IV-S1);
- Витратна характеристика модифікована рівновідсоткова або лінійна (на вибір)
- Діапазон регулювання:
 - 50 : 1 для параболічного затвора;
- Клас герметичності:
 - метал / метал: клас герметичності затвора IV по DIN EN 60534-4;
- Матеріали:
 - Корпус:

					БР.АКП-07.00.000.000 ПЗ	Арк.
Змн.	Арк.	№ докум.	Підпис	Дата		34

арт. 55.440 / 55.441: н/ж сталь 1.4408 (PN40);

– Внутрішні елементи: різні марки н/ж сталей.

Модель електропривода: ARI-PREMIO PLUS 2G

- Клас захисту IP65.
- Захист двигуна від перегріву;
- Кінцеві вимикачі і вимикачі по зусиллю;
- Ручне аварійне керування;
- Кількість допустимих включень в годину: 1200;
- Керування: Трипозиційне управління і аналогове 4..20 mA, 0 ... 10 V;
- Можливість зміни типу витратної характеристики (для Ari-Premio Plus) і швидкості переміщення штока.

6. Регулятор мікропроцесорний МІК-311-К11



Рисунок 4.6 – МІК-311

- 1 AI:
 - уніфіковані сигнали (IEC 381-1, IEC 60381-2);
 - термометричні опори (ДСТУ 2858-94);
 - термометричні опори NTC (DIN EN 44070);
 - термометричні опори (ДСТУ 2837-94, ГОСТ3044-94, DIN IEC 584-1);

						БР.АКП-07.00.000.000 ПЗ	Арк.
Змн.	Арк.	№ докум.	Підпис	Дата			35

- 1 АО:
 - 0-5 мА ($R_H \leq 2 \text{ кОм}$);
 - 0(4)-20 мА ($R_H \leq 500 \text{ Ом}$);
 - 0-10 В ($R_H \geq 2 \text{ ком}$);
- 2 DI:
 - логічний "0" - 0-7;
 - логічна "1" - 18-30 ст;
- 2 DO:
 - Транзисторний вихід: $\leq 40 \text{ В}, 100 \text{ мА}$;
 - Релейний вихід: $\leq 220 \text{ В}, 8 \text{ А}$;
- Закони регулювання: П, ПІ, ПД або ПІД;
- Живлення регулятора від мережі:
 - змінного струму від 100 В до 242 В
 - постійного струму від 18 В до 36 В

Послідовний інтерфейс RS-485

- Кількість приладів на одному сегменті: до 32
- Максимальна довжина лінії в межах одного сегмента мережі: до 1200 метрів
- Діапазон мережевих адрес: до 255
- Вид кабелю: Витя пара, екранована кручена пара
- Протокол зв'язку: Режим Modbus RTU (віддалений термінал)

7. Універсальне реле-регулятор АК-1

					БР.АКП-07.00.000.000 ПЗ	Арк.
Змн.	Арк.	№ докум.	Підпис	Дата		36



Рисунок 4.7 - АК-1

Технічна характеристика

- Кількість аналогових входів: 1;
- Діапазон зміни вхідного аналогового сигналу:
 - від 0 мА до 5 мА ($R_{вх}=50 \text{ Ом}$);
 - від 0 мА до 20 мА ($R_{вх}=25 \text{ Ом}$);
 - від 4 мА до 20 мА ($R_{вх}=25 \text{ Ом}$);
 - від 0 В до 10 В ($R_{вх}=40 \text{ кОм}$);
 - від 0 В до 260 В ($R_{вх}=5$);
- Діапазон зміни параметра «Гістерезис»: 0,1 до 5%;
- Похибка установки параметра «Гістерезис»: 0,1%;
- Діапазон зміни параметра «Межа»
 - для верхніх значень K1: 0÷100%
 - для нижніх значень K2:
 - 50÷100%
 - 0÷100%
 - 0÷50%
- Кількість дискретних виходів: 2
- Тип виходу: перемикаючі контакти реле

					БР.АКП-07.00.000.000 ПЗ	Арк.
Змн.	Арк.	№ докум.	Підпис	Дата		37

На рис 4.9 зображена функціональна схема яка складається з 16 контурів.

Перший контур. Вимірювання, індикація та сигналізація витрати ректифікату з ректифікаційної колони 7.

Другий контур. Вимірювання, індикація та сигналізація температури ректифікату з ректифікаційної колони 7.

Третій контур. Вимірювання, індикація та регулювання потоку флегми в ректифікаційну колону 7 за допомогою ПІ-регулятора.

Четвертій контур. Вимірювання, індикація та сигналізація температури потоку флегми в ректифікаційну колону 7.

П'ятий контур. Вимірювання, індикація та регулювання температури потоку сировини в ректифікаційну колону 7 за допомогою реле.

Шостий контур. Вимірювання, індикація та сигналізація температури в верхній частині ректифікаційної колони 7.

Сьомий контур. Вимірювання, індикація та сигналізація температури в верхній частині ректифікаційної колони 8.

Восьмий контур. Вимірювання, індикація та регулювання потоку флегми в ректифікаційну колону 8 за допомогою ПІ-регулятора.

Дев'ятий контур. Вимірювання, індикація та регулювання рівня кубового залишку в ректифікаційній колоні 7 за допомогою реле.

Десятий контур. Вимірювання, індикація та регулювання рівня кубового залишку в ректифікаційній колоні 8 за допомогою реле.

Одинадцятий контур. Вимірювання, індикація та сигналізація витрати ректифікату з ректифікаційної колони 8.

Дванадцятий контур. Вимірювання, індикація та сигналізація температури ректифікату з ректифікаційної колони 8.

Тринадцятий контур. Вимірювання, індикація та сигналізація температури в печі 1.

Чотирнадцятий контур. Вимірювання, індикація та сигналізація температури в печі 2.

					БР.АКП-07.00.000.000 ПЗ	Арк.
Змн.	Арк.	№ докум.	Підпис	Дата		40

П'ятнадцятий контур. Вимірювання, індикація та сигналізація температури в реакційній камері 3.

Шістнадцятий контур. Вимірювання, індикація та сигналізація температури в випарнику 4.

Дана функціональна схема розроблена з метою спрощення процесу підключення та налаштування обладнання. Вона містить всього 4 контура керування та регулювання, яких повинно бути достатньо для забезпечення безперервного протікання процесу термічного крекінгу при правильному налаштуванні параметрів печей, реакторів та інших об'єктів.

Оскільки сучасні SCADA-системи дозволяють створити мнемосхему яка буде виконувати функції індикації і сигналізації та відображати дані у такому вигляді у якому бажає оператор, тому щит у даній роботі розроблятися не буде.

На рис. 4.10, 4.11, 4.12, 4.13 зображені схеми підключення ТЗА.

					БР.АКП-07.00.000.000 ПЗ	Арк.
Змн.	Арк.	№ докум.	Підпис	Дата		41

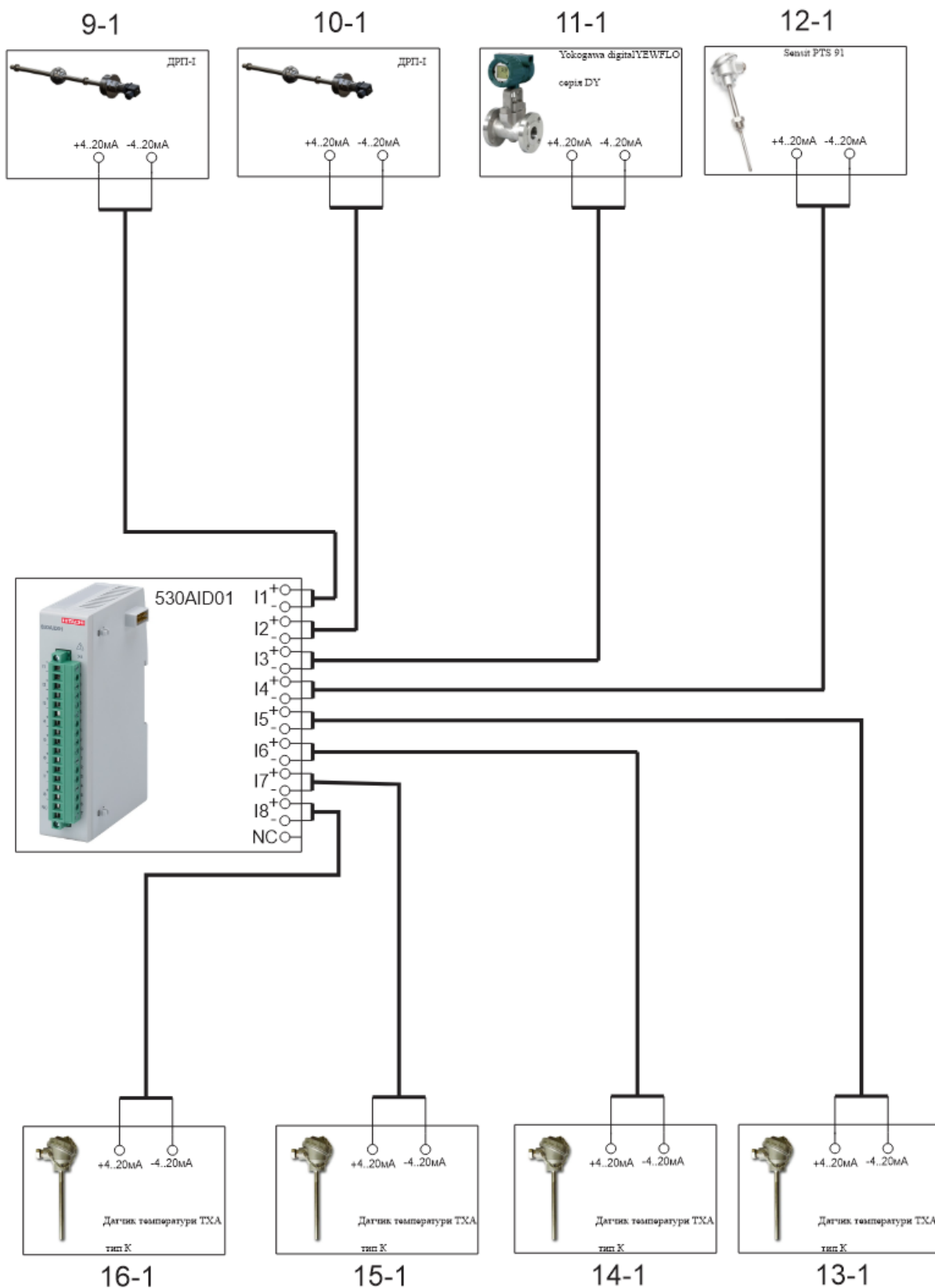


Рисунок 4.11 – Схема підключення датчиків від 9 до 16 контурів

На рис. 4.10 зображено схему підключень датчиків від 9 до 16 контурів до модуля 530AID01.

Висновки до розділу

В даному розділі було обрано ТЗА, створено функціональну схему автоматизації, схему підключень ТЗА.

					БР.АКП-07.00.000.000 ПЗ	Арк.
Змн.	Арк.	№ докум.	Підпис	Дата		46

ЗАГАЛЬНІ ВИСНОВКИ

В процесі виконання бакалаврської роботи було розроблено систему автоматизації технологічного процесу термічного крекінгу.

У даній роботі проведено аналіз технологічного процесу термічного крекінгу як об'єкта керування, розроблено систему автоматичного керування процесом, підбрано необхідні технічні засоби автоматизації. Також розрахований контур регулювання, визначений закон регулювання, побудована перехідна характеристика, проведена оптимізація параметрів регулятора, завдяки чому, покращені показники якості регулювання.

Вибрано основний апарат, яким являється ректифікаційна колона. Розроблено математичну модель, розраховано передавальні функції об'єкта керування, регулятора, каналів керування та збурення, компенсаторів збурюючого впливу, розроблено та оптимізовано САК.

Створено функціональну схему автоматизації та схему підключень.

					БР.АКП-07.00.000.000 ПЗ	Арк.
Змн.	Арк.	№ докум.	Підпис	Дата		47

ПЕРЕЛІК ПОСИЛАНЬ НА ДЖЕРЕЛА

1. Автоматизація типових технологічних процесів: технологічні об'єкти керування та схеми автоматизації [Електронний ресурс] : навч. посіб. для студ. вищих навчальних закладів, які навчаються за напрямом «Автоматизація і комп'ютерно-інтегровані технології» / М. В. Лукінюк ; М-во освіти і науки України, НТУУ «КПІ». – Електронні текстові дані (1 файл: 2,93 Мбайт). – Київ : Політехніка, 2008. – 236 с. URL: <https://ela.kpi.ua/handle/123456789/49706>
2. Інноваційні технології глибокої переробки органічних матеріал: конспект лекцій [Електронний ресурс] : навчальний посібник для студентів, які навчаються за спеціальністю спеціальності 133 Галузеве машинобудування, спеціалізації «Комп'ютерно-інтегровані технології проектування обладнання хімічної інженерії» / КПІ ім. Ігоря Сікорського; уклад.: М. П. Швед, А. Р. Степанюк, Д. М. Швед – Електронні текстові дані (1 файл: 5,79 Мбайт). – Київ : КПІ ім. Ігоря Сікорського, 2022. – 221 с. URL: <https://ela.kpi.ua/handle/123456789/48567>
3. Інтерактивний комплекс з дисциплін “Автоматизація технологічних процесів” для студентів III-го курсу спеціальності 5.092503 “Монтаж, обслуговування засобів і систем автоматизації технологічного виробництва” Кухнюк Н.В., - Рівне: Технологічний коледж НУВГП 2008 – 238 с.
4. Конспект лекцій дисципліни “Процеси та обладнання нафтопереробних виробництв” для спеціальності 7.05050315 “Обладнання хімічних виробництв і підприємств будівельних матеріалів” – Київ : Політехніка, 2014. – 80 с.
5. Мала гірнича енциклопедія : у 3 т. / за ред. В. С. Білецького. — Д. : Донбас, 2004. — Т. 1 : А — К. — 640 с. — ISBN 966-7804-14-3.
6. Блок дистанційного управління RTU530. [Електронний ресурс] – URL: <https://www.hitachienergy.com/products-and-solutions/substation-automation->

						БР.АКП-07.00.000.000 ПЗ	Арк.
Змн.	Арк.	№ докум.	Підпис	Дата			48

